



# Ciencia y Tecnología

Secretaría de Ciencia, Humanidades, Tecnología e Innovación



CIMAT  
UNIDAD MÉRIDA

# DETECCIÓN DE OBJETOS USANDO MÉTODOS TRADICIONALES

Dr. Francisco J. Hernández López

SECIHTI – CIMAT-Mérida

fcoj23@cimat.mx, [www.cimat.mx/~fcoj23](http://www.cimat.mx/~fcoj23)



# DESARROLLO DE MODELOS DE DET. DE OBJ. TRADICIONALES

- **Selección de regiones informativas.** Se utilizan ventanas deslizantes a diferentes escalas para buscar a los diferentes objetos en toda la imagen. Debido a la gran cantidad de ventanas candidatas, esto puede resultar comp. pesado y producir muchas ventanas redundantes.
- **Extracción de características.** Necesitamos caract. visuales que puedan proveer una representación robusta, por ej.: SIFT, HOG, Haar-like. Debido a la diversidad de apariencia, condiciones de iluminación, fondos de los escenarios, etc., es difícil diseñar de forma manual caract. que describan a todos los tipos de obj.
- **Clasificación.** Necesitamos distinguir a un objeto a partir de diversas categorías y hacer las representaciones más jerárquicas, semánticas e informativas para el reconocimiento visual. Normalmente se utilizan: SVM, AdaBoost y DPM.

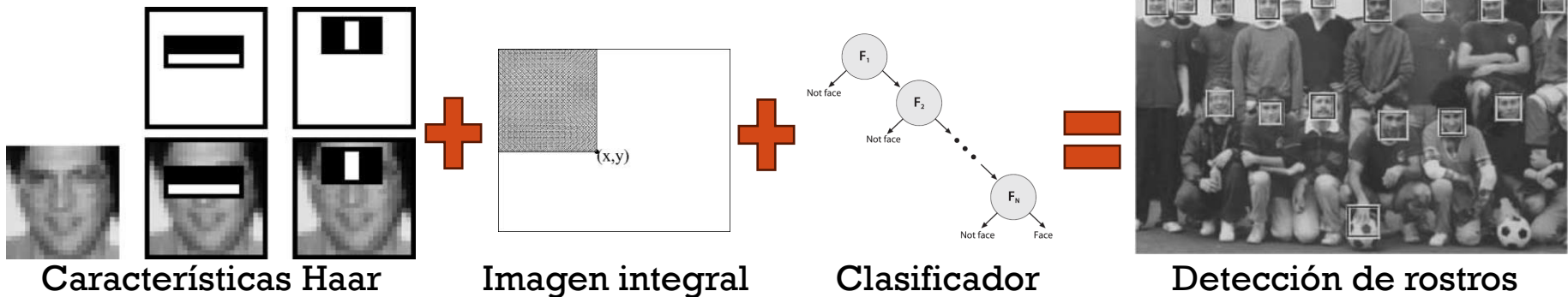
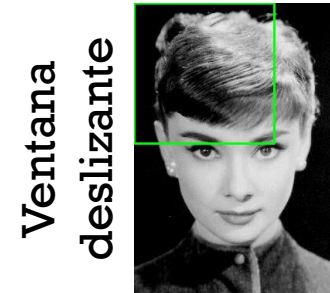
Zhao, Z. Q., Zheng, P., Xu, S. T., & Wu, X. (2019). Object detection with deep learning: A review. *IEEE transactions on neural networks and learning systems*, 30(11), 3212-3232.

Detección de Objetos. Francisco J. Hernández López

Ene-Jun 2025

# DETECTOR DE VIOLA & JONES, 2001, 2004

- Detector de rostros humanos.
- Velocidad: 700 MHz en una CPU Pentium III.
- Forma de detección: Con ventanas deslizantes se recorren todas las posibles posiciones y escalas en la imagen para ver si alguna ventana contiene un rostro.

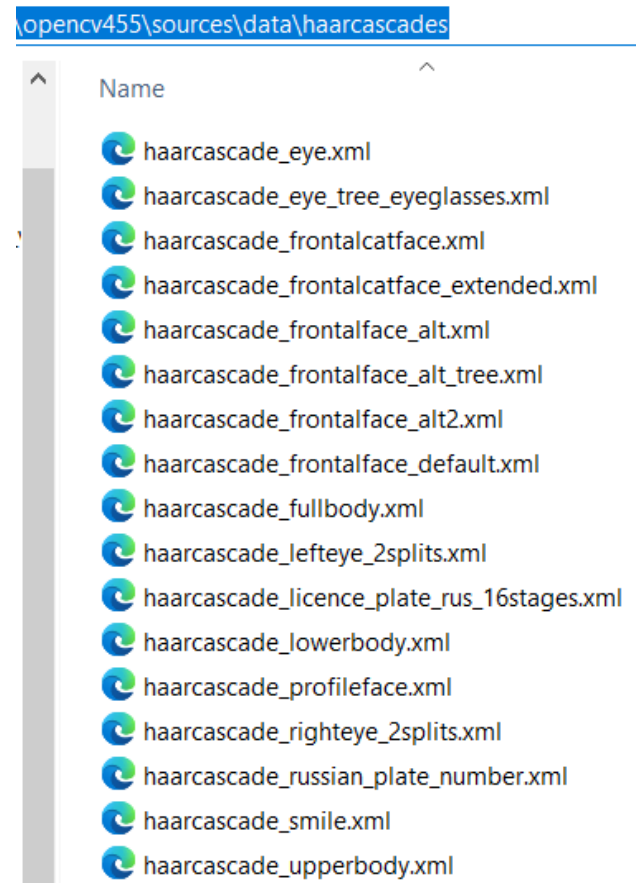


Viola, P., & Jones, M. (2001, December). Rapid object detection using a boosted cascade of simple features. In *Proceedings of the 2001 IEEE computer society conference on computer vision and pattern recognition. CVPR 2001* (Vol. 1, pp. I-I). IEEE.

Viola, P., & Jones, M. J. (2004). Robust real-time face detection. *International journal of computer vision*, 57, 137-154

# DETECCIÓN DE ROSTROS EN OPENCV

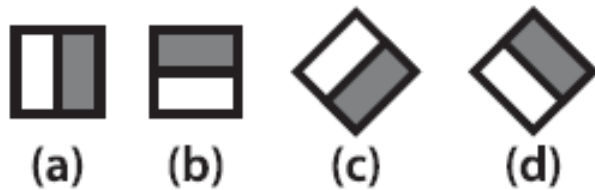
- En OpenCV existe una implementación del algoritmo de Viola & Jones, el cual fue luego extendido por Lienhart & Maydt.
- OpenCV llama a esta implementación el “*Haar classifier*”.
- Además de detectar rostros, también es posible usar el método para detectar otros tipos de objetos rígidos como: autos, bicis, cuerpo humano, etc.
- Los objetos ya preentrenados que están disponibles en OpenCV están en la carpeta: /opencv/data/haarcascades



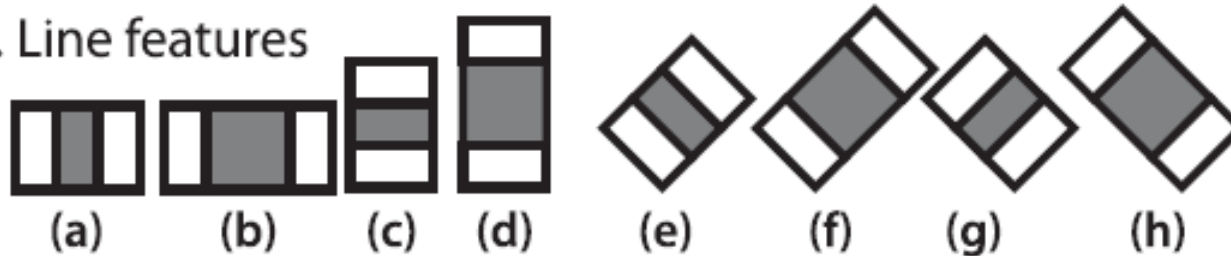
Bradski, G., & Kaehler, A. (2008). *Learning OpenCV: Computer vision with the OpenCV library*. " O'Reilly Media, Inc.". Lienhart, R., & Maydt, J. (2002, September). An extended set of haar-like features for rapid object detection. In *Proceedings. international conference on image processing* (Vol. 1, pp. I-I). IEEE.

# CARACTERÍSTICAS TIPO HAAR

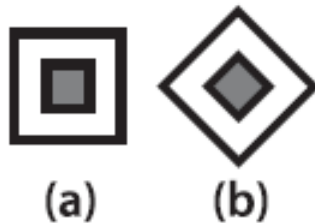
## 1. Edge features



## 2. Line features



## 3. Center-surround features



# CLASIFICADOR

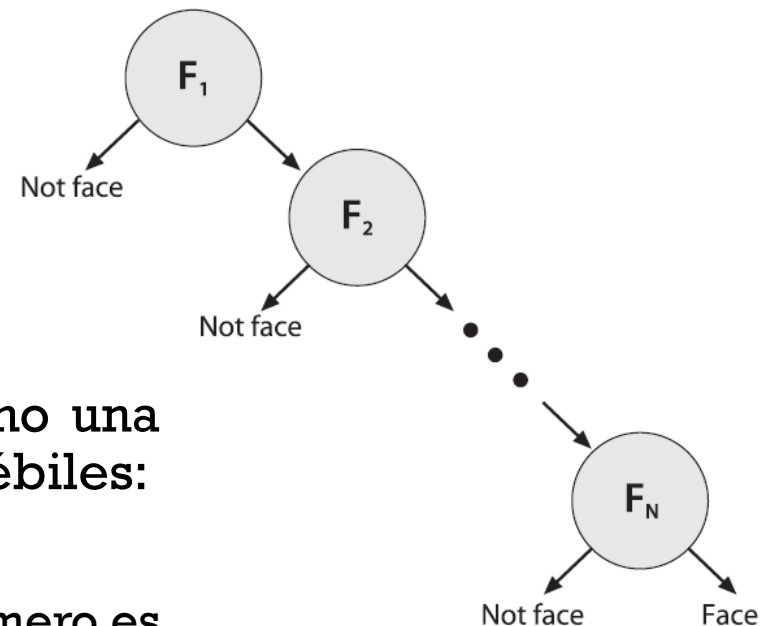
- Utiliza un clasificador de impulso (*boosting*), en el cual los clasificadores débiles en cada nodo son árboles de decisión que frecuentemente tienen solo un nivel de profundidad, por ej.:
- “¿Es el valor  $v$  de una característica  $f$  por arriba o debajo de un umbral  $T$ ?”
  - Si  $\rightarrow$  Rostro
  - No  $\rightarrow$  No rostro

$$f_i = \begin{cases} +1 & v_i \geq T_i \\ -1 & v_i < T_i \end{cases}$$

- Se construye un clasificador como una suma pesada de clasificadores débiles:

$$F = \text{sign}(w_1 f_1 + w_2 f_2 + \dots + w_n f_n)$$

La función *sign* devuelve  $-1$  si el número es  $< 0$ ,  $0$  si es igual a  $0$  y  $+1$  si el número es  $> 0$



# CÓDIGO FACEDETECT.CPP DE OPENCV

```
38 int main( int argc, const char** argv )
39 {
40     VideoCapture capture;
41     Mat frame, image;
42     string inputName;
43     bool tryflip;
44     CascadeClassifier cascade, nestedCascade;
45     double scale;
46
47     cv::CommandLineParser parser(argc, argv,
48         "{help h|}"
49         "{cascade|data/haarcascades/haarcascade_frontalface_alt.xml|}"
50         "{nested-cascade|data/haarcascades/haarcascade_eye_tree_eyeglasses.xml|}"
51         "{scale|1|}{try-flip|}|{@filename|1|}"//En filename podemos cambiar el ID del puerto
52         //para elegir la WebCam
53     );
```

Podemos modificar el modelo pre-entrenado



# CARGANDO LOS MODELOS

```
59 cascadeName = parser.get<string>("cascade");
60 nestedCascadeName = parser.get<string>("nested-cascade");
61 scale = parser.get<double>("scale");
62 if (scale < 1)
63     scale = 1;
64 tryflip = parser.has("try-flip");
65 inputName = parser.get<string>("@filename");
66 if (!parser.check())
67 {
68     parser.printErrors();
69     return 0;
70 }
71 if (!nestedCascade.load(samples::findFileOrKeep(nestedCascadeName)))
72     cerr << "WARNING: Could not load classifier cascade for nested objects" << endl;
73 if (!cascade.load(samples::findFile(cascadeName)))
74 {
75     cerr << "ERROR: Could not load classifier cascade" << endl;
76     help(argv);
77     return -1;
78 }
```

# PROCESANDO IMÁGENES (WEBCAM)

```
110     if( capture.isOpened() )
111     {
112         cout << "Video capturing has been started ..." << endl;
113
114         for(;;)
115         {
116             capture >> frame;
117             if( frame.empty() )
118                 break;
119
120             Mat frame1 = frame.clone();
121             detectAndDraw( frame1, cascade, nestedCascade, scale, tryflip );
122
123             char c = (char)waitKey(10);
124             if( c == 27 || c == 'q' || c == 'Q' )
125                 break;
126         }
127     }
```

# PROCEDIMIENTO PRINCIPAL

```
172 void detectAndDraw( Mat& img, CascadeClassifier& cascade,
173                    CascadeClassifier& nestedCascade,
174                    double scale, bool tryflip )
175 {
176     double t = 0;
177     vector<Rect> faces, faces2;
178     const static Scalar colors[] =
179     {
180         Scalar(255,0,0),
181         Scalar(255,128,0),
182         Scalar(255,255,0),
183         Scalar(0,255,0),
184         Scalar(0,128,255),
185         Scalar(0,255,255),
186         Scalar(0,0,255),
187         Scalar(255,0,255)
188     };
189     Mat gray, smallImg;
```

```

191 cvtColor( img, gray, COLOR_BGR2GRAY );
192 double fx = 1 / scale;
193 resize( gray, smallImg, Size(), fx, fx, INTER_LINEAR_EXACT );
194 equalizeHist( smallImg, smallImg );
195
196 t = (double)getTickCount();
197 cascade.detectMultiScale( smallImg, faces, ← Detección de rostros
198     1.1, 2, 0
199     //|CASCADE_FIND_BIGGEST_OBJECT
200     //|CASCADE_DO_ROUGH_SEARCH
201     |CASCADE_SCALE_IMAGE,
202     Size(30, 30) );
203 if( tryflip ) ← Detección de rostros volteados
204 {
205     //flip(smallImg, smallImg, 1); //Por si en la cámara o la foto el rostro está volteado
206     flip(smallImg, smallImg, 0); //Ojo, el flip debería aplicarse c.r. al eje x
207     //es decir, voltear la imagen de forma vertical
208     cascade.detectMultiScale( smallImg, faces2,
209         1.1, 2, 0
210         //|CASCADE_FIND_BIGGEST_OBJECT
211         //|CASCADE_DO_ROUGH_SEARCH
212         |CASCADE_SCALE_IMAGE,
213         Size(30, 30) );
214     for( vector<Rect>::const_iterator r = faces2.begin(); r != faces2.end(); ++r )
215     {
216         //faces.push_back(Rect(smallImg.cols - r->x - r->width, r->y, r->width, r->height));
217         faces.push_back(Rect(r->x, smallImg.rows-r->y-r->height, r->width, r->height));
218         //Ojo, la transformación debería aplicarse c.r. al eje y
219     }
220 }

```

```

217 t = (double)getTickCount() - t;
218 printf( "detection time = %g ms\n", t*1000/getTickFrequency());
219 for ( size_t i = 0; i < faces.size(); i++ )
220 {
221     Rect r = faces[i];
222     Mat smallImgROI;
223     vector<Rect> nestedObjects;
224     Point center;
225     Scalar color = colors[i%8];
226     int radius;
227
228     double aspect_ratio = (double)r.width/r.height;
229     if( 0.75 < aspect_ratio && aspect_ratio < 1.3 )
230     {
231         center.x = cvRound((r.x + r.width*0.5)*scale);
232         center.y = cvRound((r.y + r.height*0.5)*scale);
233         radius = cvRound((r.width + r.height)*0.25*scale);
234         circle( img, center, radius, color, 3, 8, 0 );
235     }
236
237     else
238         rectangle( img, Point(cvRound(r.x*scale), cvRound(r.y*scale)),
239                 Point(cvRound((r.x + r.width-1)*scale), cvRound((r.y + r.height-1)*scale)),
240                 color, 3, 8, 0);
241     if( nestedCascade.empty() )

```

```

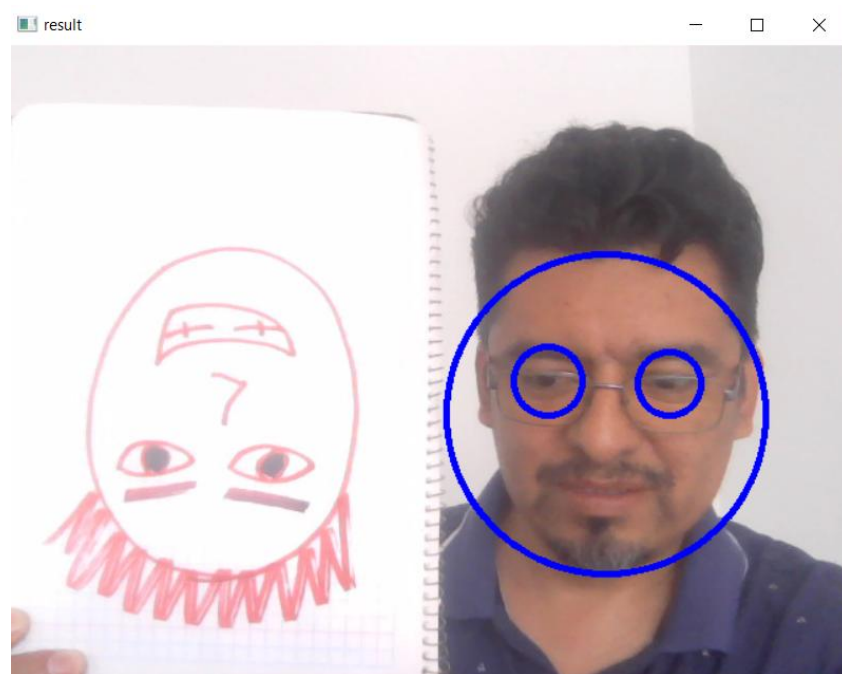
240 if( nestedCascade.empty() )
241     continue;
242 smallImgROI = smallImg( r );
243 nestedCascade.detectMultiScale( smallImgROI, nestedObjects,
244     1.1, 2, 0
245     //|CASCADE_FIND_BIGGEST_OBJECT
246     //|CASCADE_DO_ROUGH_SEARCH
247     //|CASCADE_DO_CANNY_PRUNING
248     |CASCADE_SCALE_IMAGE,
249     Size(30, 30) );
250 for ( size_t j = 0; j < nestedObjects.size(); j++ )
251 {
252     Rect nr = nestedObjects[j];
253     center.x = cvRound((r.x + nr.x + nr.width*0.5)*scale);
254     center.y = cvRound((r.y + nr.y + nr.height*0.5)*scale);
255     radius = cvRound((nr.width + nr.height)*0.25*scale);
256     circle( img, center, radius, color, 3, 8, 0 );
257 }
258 }
259 imshow( "result", img );
260 }

```

← Detección de ojos

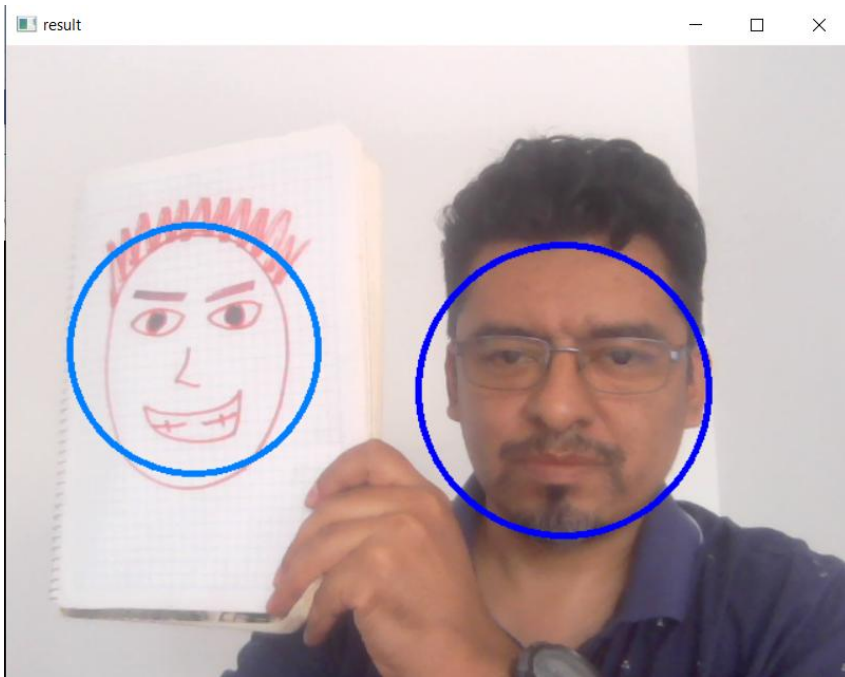
# PRUEBA 1

{try-flip||}



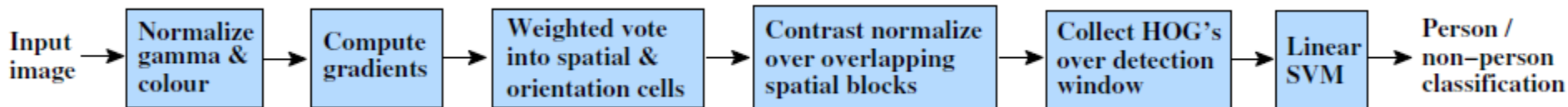
# PRUEBA 2

{try-flip|1|}



# DETECTOR HOG, DALAL & TRIGGS, 2005

- HOG: Descriptor de características con base en el histograma de gradientes orientados.
- Aunque se puede usar para detectar una variedad de clases de objetos, fue motivado por el problema de detección de peatones.



Dalal, N., & Triggs, B. (2005, June). Histograms of oriented gradients for human detection. In *2005 IEEE computer society conference on computer vision and pattern recognition (CVPR'05)* (Vol. 1, pp. 886-893). Ieee.

Detección de Objetos. Francisco J. Hernández López

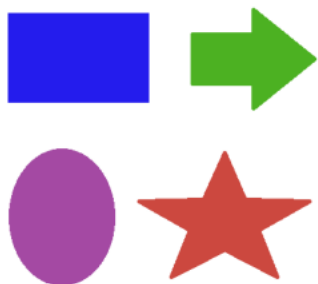
Ene-Jun 2025

```

1  import matplotlib.pyplot as plt
2  from skimage.feature import hog
3  from skimage import data, exposure
4  from skimage.io import imread
5  #import cv2
6  image=imread("Figs1.png")
7  #image=cv2.imread("Figs1.png", cv2.IMREAD_COLOR)
8
9  # Compute HOG features
10 fd, hog_image = hog(image, orientations=8, pixels_per_cell=(16,16),
11                    cells_per_block=(1, 1), visualize=True, multichannel=True)

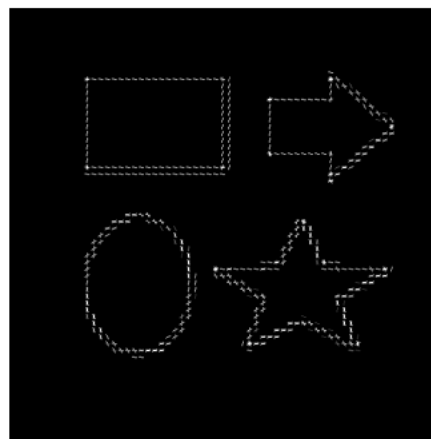
```

Original Image



512 × 512

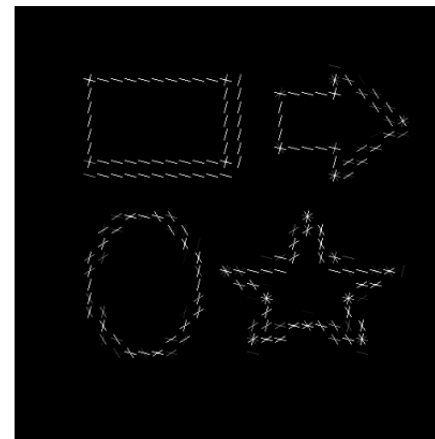
HOG Features



Celda=[8,8]

fd.shape= 32768

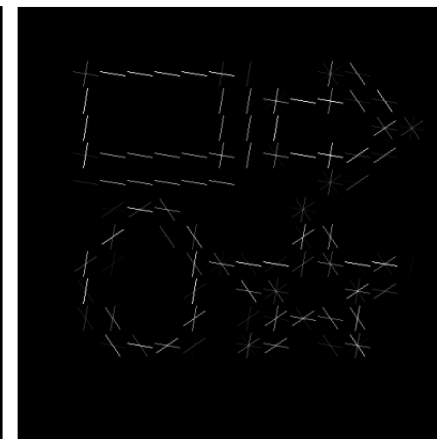
HOG Features



Celda=[16,16]

8192

HOG Features

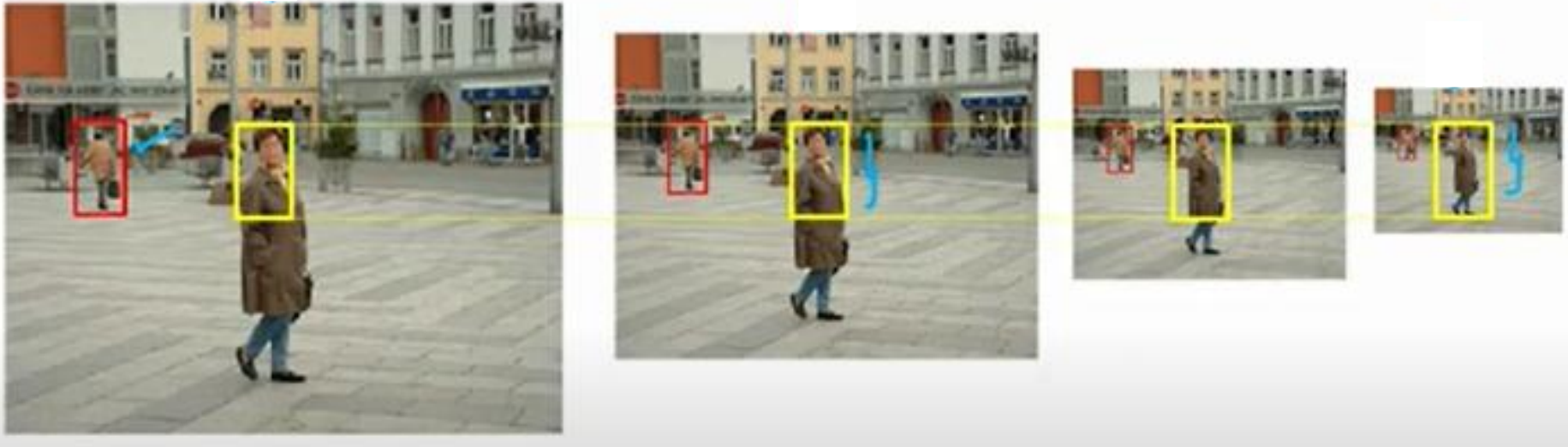


Celda=[32,32]

2048

# DETECTOR HOG MULTIESCALA

- Para detectar objetos de diferentes tamaños se re-escala la imagen de entrada múltiples veces mientras se mantiene el tamaño de la ventana de detección.



C37 | Dalal & Triggs Object Detection | HOG + SVM | Computer Vision | Machine Learning | EvODN

Dalal, N., & Triggs, B. (2005, June). Histograms of oriented gradients for human detection. In *2005 IEEE computer society conference on computer vision and pattern recognition (CVPR'05)* (Vol. 1, pp. 886-893). Ieee.  
Detección de Objetos. Francisco J. Hernández López

Ene-Jun 2025

# CÓDIGO PEOPLEDETECT.CPP DE OPENCV

```
5  #include <opencv2/objdetect.hpp>
6  #include <opencv2/highgui.hpp>
7  #include <opencv2/imgproc.hpp>
8  #include <opencv2/videoio.hpp>
9  #include <iostream>
10 #include <iomanip>
11
12 using namespace cv;
13 using namespace std;
14
15 class Detector
16 {
17     enum Mode { Default, Daimler } m;
18     HOGDescriptor hog, hog_d;
19 public:
20     Detector() : m(Default), hog(), hog_d(Size(48, 96), Size(16, 16),
21                                           Size(8, 8), Size(8, 8), 9)
22     {
23         hog.setSVMDetector(HOGDescriptor::getDefaultPeopleDetector());
24         hog_d.setSVMDetector(HOGDescriptor::getDaimlerPeopleDetector());
25         //Entrenado con el dataset Daimler
26     }
```

```

27 void toggleMode() { m = (m == Default ? Daimler : Default); }
28 string modeName() const { return (m == Default ? "Default" : "Daimler"); }
29 vector<Rect> detect(InputArray img)
30 {
31     // Run the detector with default parameters. to get a higher hit-rate
32     // (and more false alarms, respectively), decrease the hitThreshold and
33     // groupThreshold (set groupThreshold to 0 to turn off the grouping completely).
34     vector<Rect> found;
35     if (m == Default)
36         hog.detectMultiScale(img, found, 0, Size(8,8), Size(), 1.05, 2, false);
37     else if (m == Daimler)
38         hog_d.detectMultiScale(img, found, 0, Size(8,8), Size(), 1.05, 2, true);
39     return found;
40 }
41 void adjustRect(Rect & r) const
42 {
43     // The HOG detector returns slightly larger rectangles than the real objects,
44     // so we slightly shrink the rectangles to get a nicer output.
45     r.x += cvRound(r.width*0.1);
46     r.width = cvRound(r.width*0.8);
47     r.y += cvRound(r.height*0.07);
48     r.height = cvRound(r.height*0.8);
49 }
50 };
51
52 static const string keys = "{ help h | | print help message }"
53                          "{ camera c | 1 | capture video from camera (device index"
54                          "{ video v | | use video as input }";

```

```

54 int main(int argc, char** argv)
55 {
56     CommandLineParser parser(argc, argv, keys);
57     parser.about("This sample demonstrates the use of the HoG descriptor.");
58     if (parser.has("help"))
59     {
60         parser.printMessage();
61         return 0;
62     }
63     int camera = parser.get<int>("camera");
64     string file = parser.get<string>("video");

85     cout << "Press 'q' or <ESC> to quit." << endl;
86     cout << "Press <space> to toggle between Default and Daimler detector" << endl;
87     Detector detector;
88     Mat frame;
89     for (;;)
90     {
91         cap >> frame;
92         if (frame.empty())
93         {
94             cout << "Finished reading: empty frame" << endl;
95             break;
96         }
97         int64 t = getTickCount();
98         vector<Rect> found = detector.detect(frame);
99         t = getTickCount() - t;

```

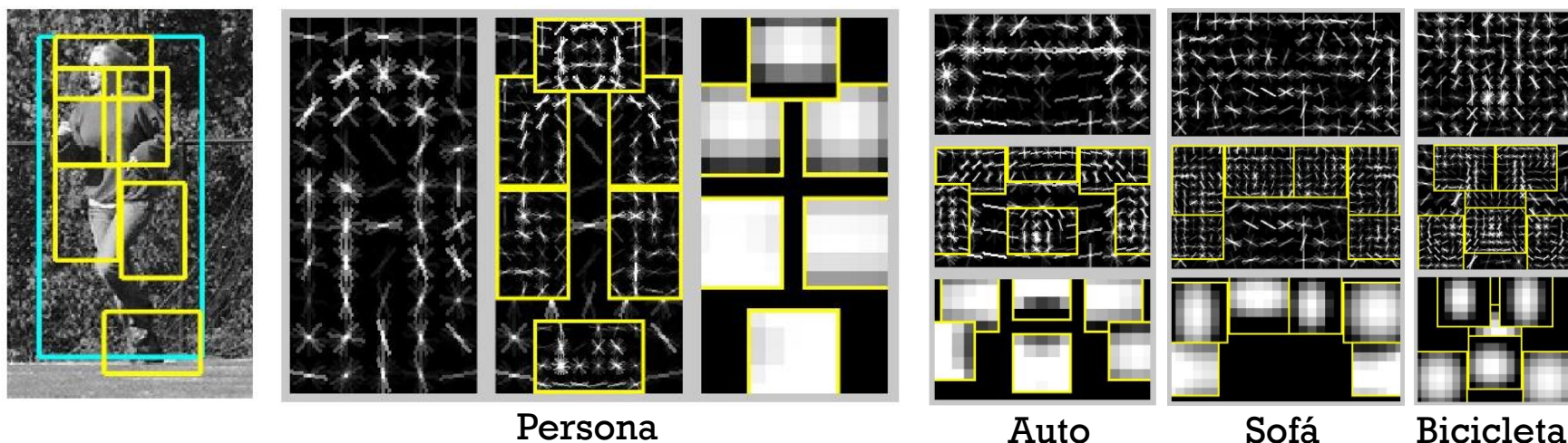
```

101 // show the window
102 {
103     ostreamstream buf;
104     buf << "Mode: " << detector.modeName() << " ||| "
105         << "FPS: " << fixed << setprecision(1) <<
106         (getTickFrequency() / (double)t);
107     putText(frame, buf.str(), Point(10, 30),
108             FONT_HERSHEY_PLAIN, 2.0, Scalar(0, 0, 255), 2, LINE_AA);
109 }
110 for (vector<Rect>::iterator i = found.begin(); i != found.end(); ++i)
111 {
112     Rect &r = *i;
113     detector.adjustRect(r);
114     rectangle(frame, r.tl(), r.br(), cv::Scalar(0, 255, 0), 2);
115 }
116 imshow("People detector", frame);
117
118 // interact with user
119 const char key = (char)waitKey(1);
120 if (key == 27 || key == 'q') // ESC
121 {
122     cout << "Exit requested" << endl;
123     break;
124 }
125 else if (key == ' ')
126 {
127     detector.toggleMode();
128 }
129 }
130 return 0;
131 }

```

# MODELO DPM, FELZENSZWALB ET AL., 2008

- DPM: Modelo de partes deformables.
- Extensión del detector HOG.
- Sigue la filosofía de divide y vencerás. Por ej., para detectar una persona, el problema se puede dividir en detectar la cabeza, los brazos, el dorso y las piernas.



Felzenszwalb, P., McAllester, D., & Ramanan, D. (2008, June). A discriminatively trained, multiscale, deformable part model. In 2008 IEEE conference on computer vision and pattern recognition (pp. 1-8). IEEE.

# GRACIAS POR SU ATENCIÓN

Francisco J. Hernández López

[fcoj23@ciimat.mx](mailto:fcoj23@ciimat.mx)

WebPage:

[www.ciimat.mx/~fcoj23](http://www.ciimat.mx/~fcoj23)

